Bindungsenergien pro Nukleon von Atomkernen

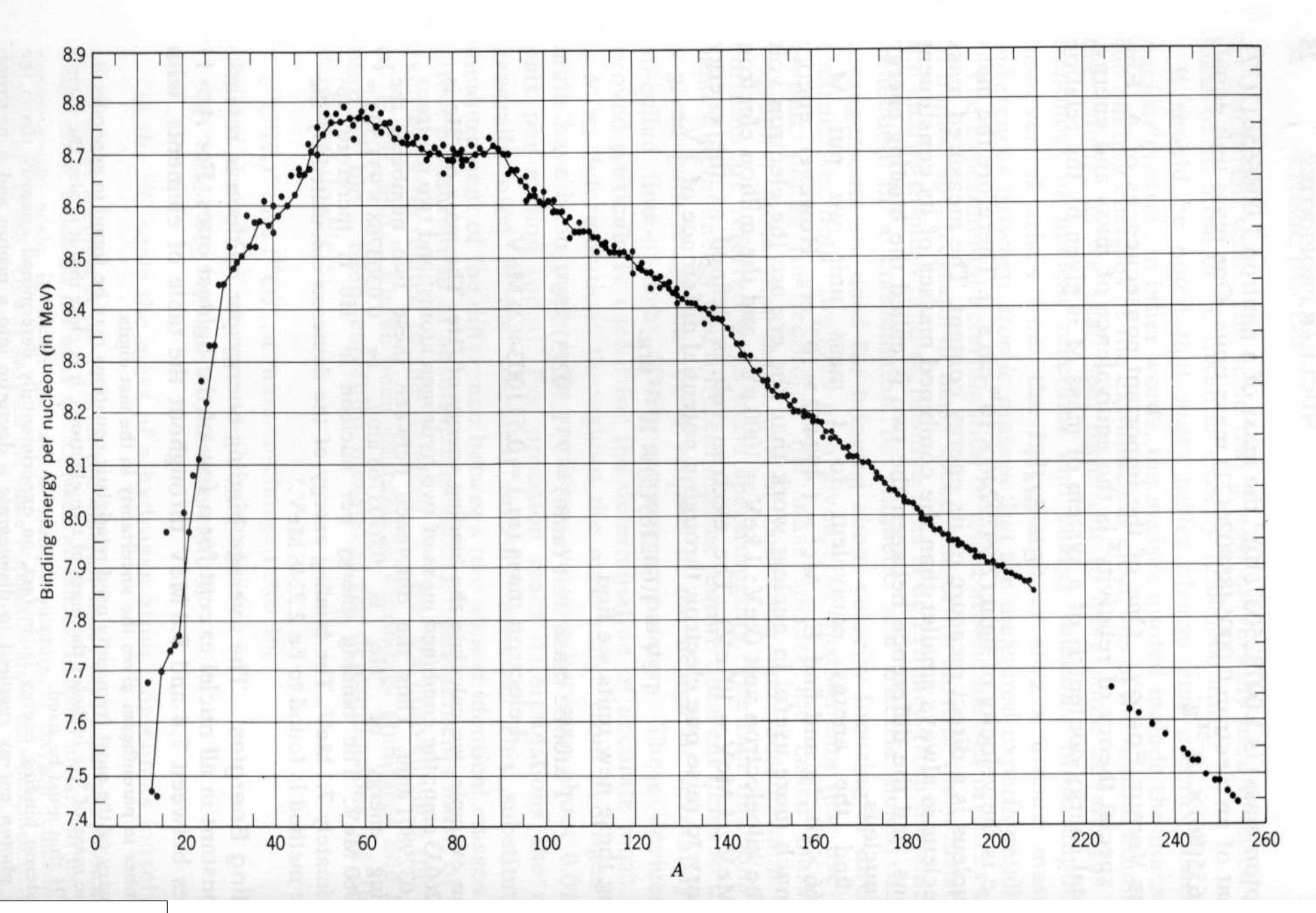
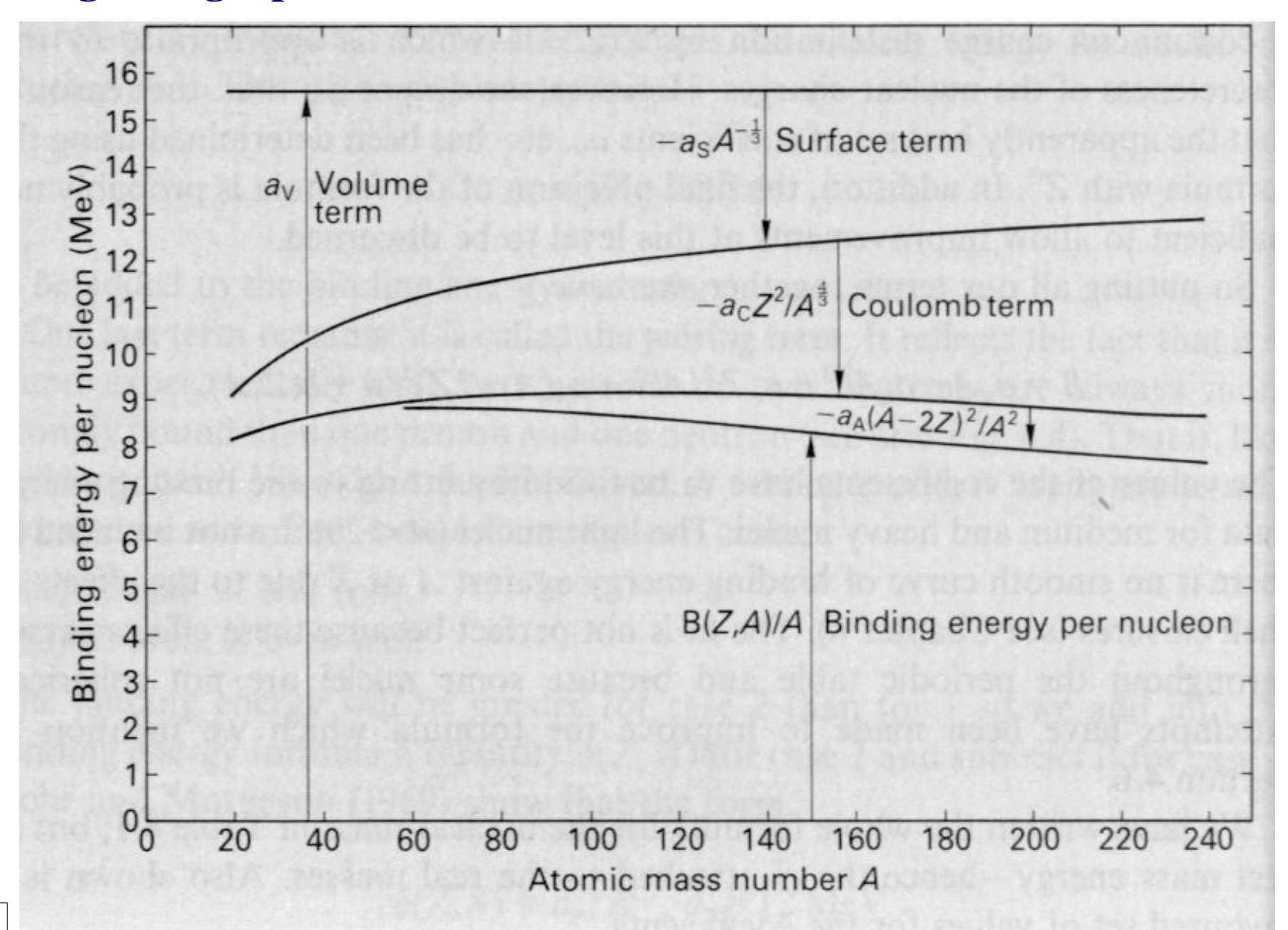
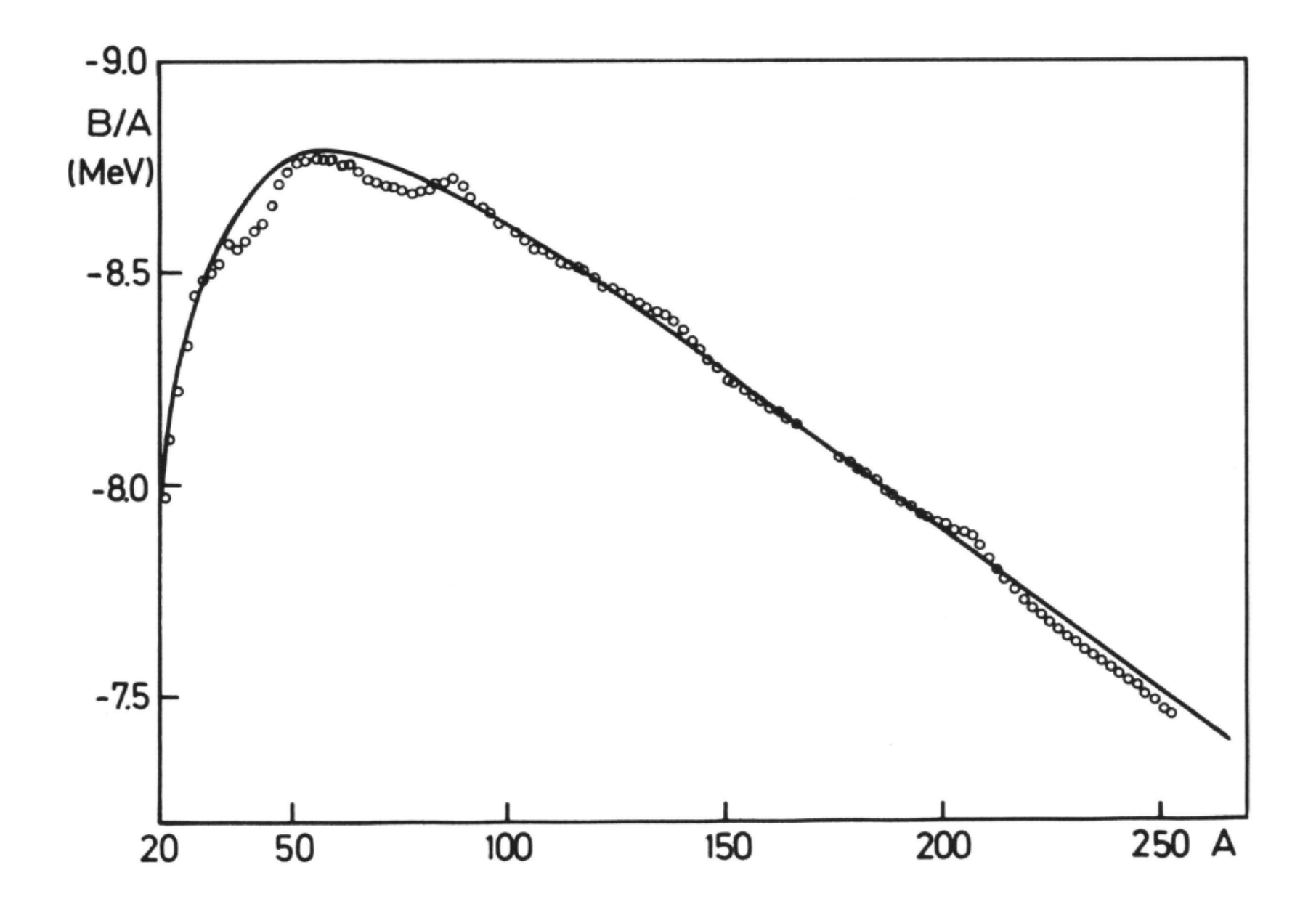


Fig. 10-1

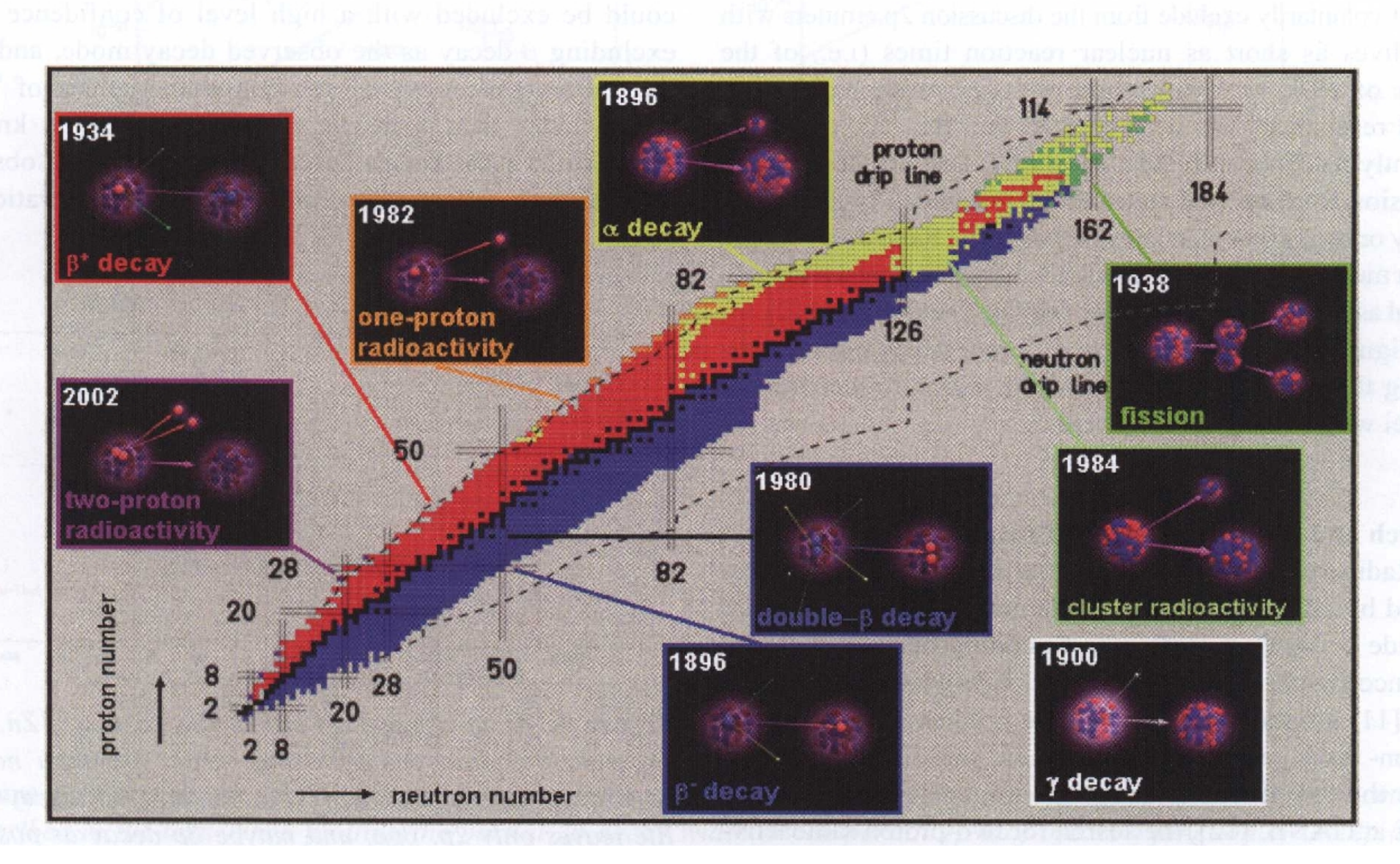
Beitrag der einzelnen Terme in der Weizsäcker-Formel zur Kernbindungsenergie pro Nukleon B/A



Kernbindungsenergie pro Nukleon im Vergleich zur Weizsäcker-Formel

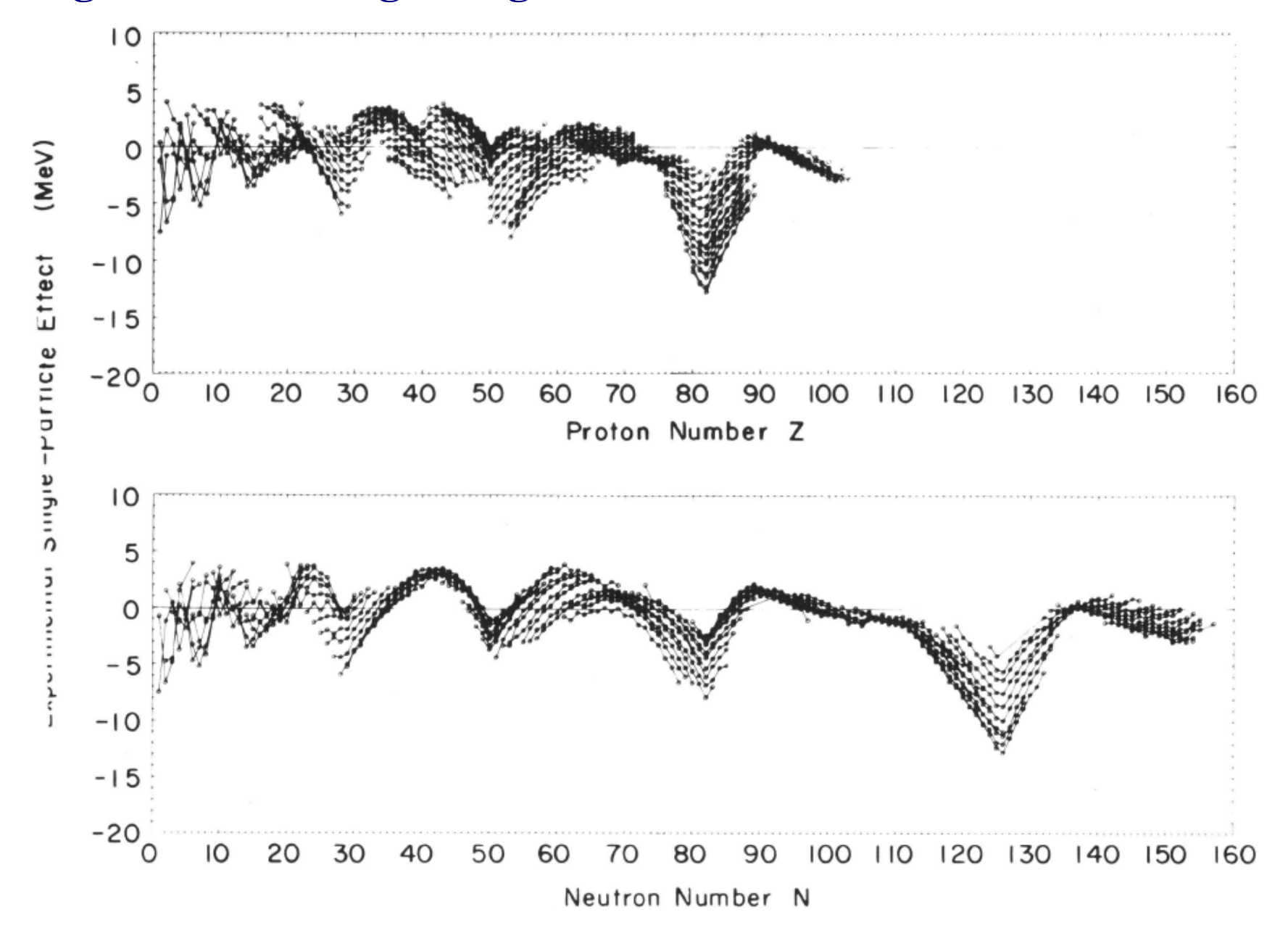


Atomkerne und Arten des radioaktiven Zerfalls



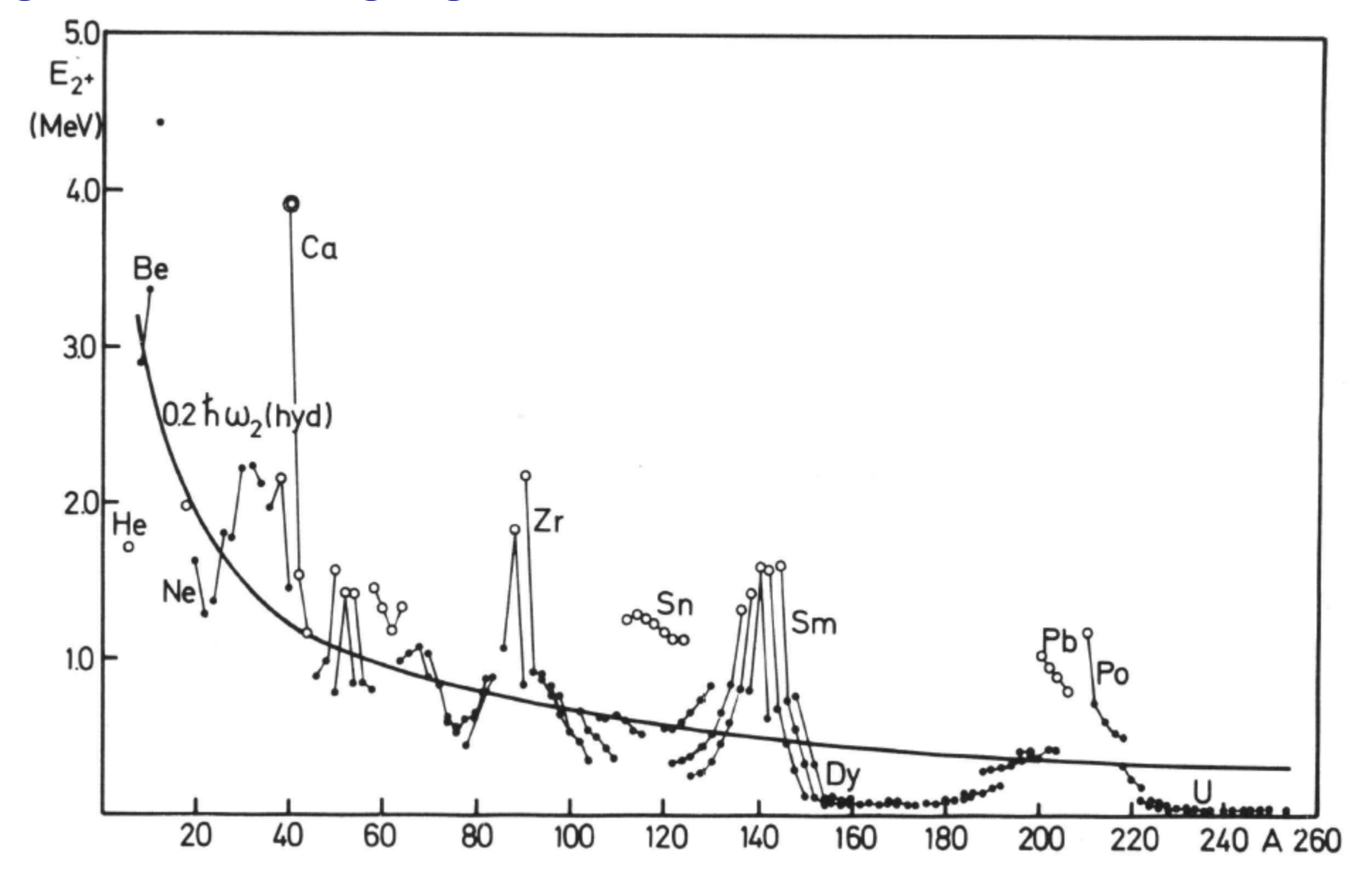
für interaktive Karte siehe: https://www-nds.iaea.org/relnsd/vcharthtml/VChartHTML.html

Abweichungen der Bindungsenergien von der Weizsäcker Formel



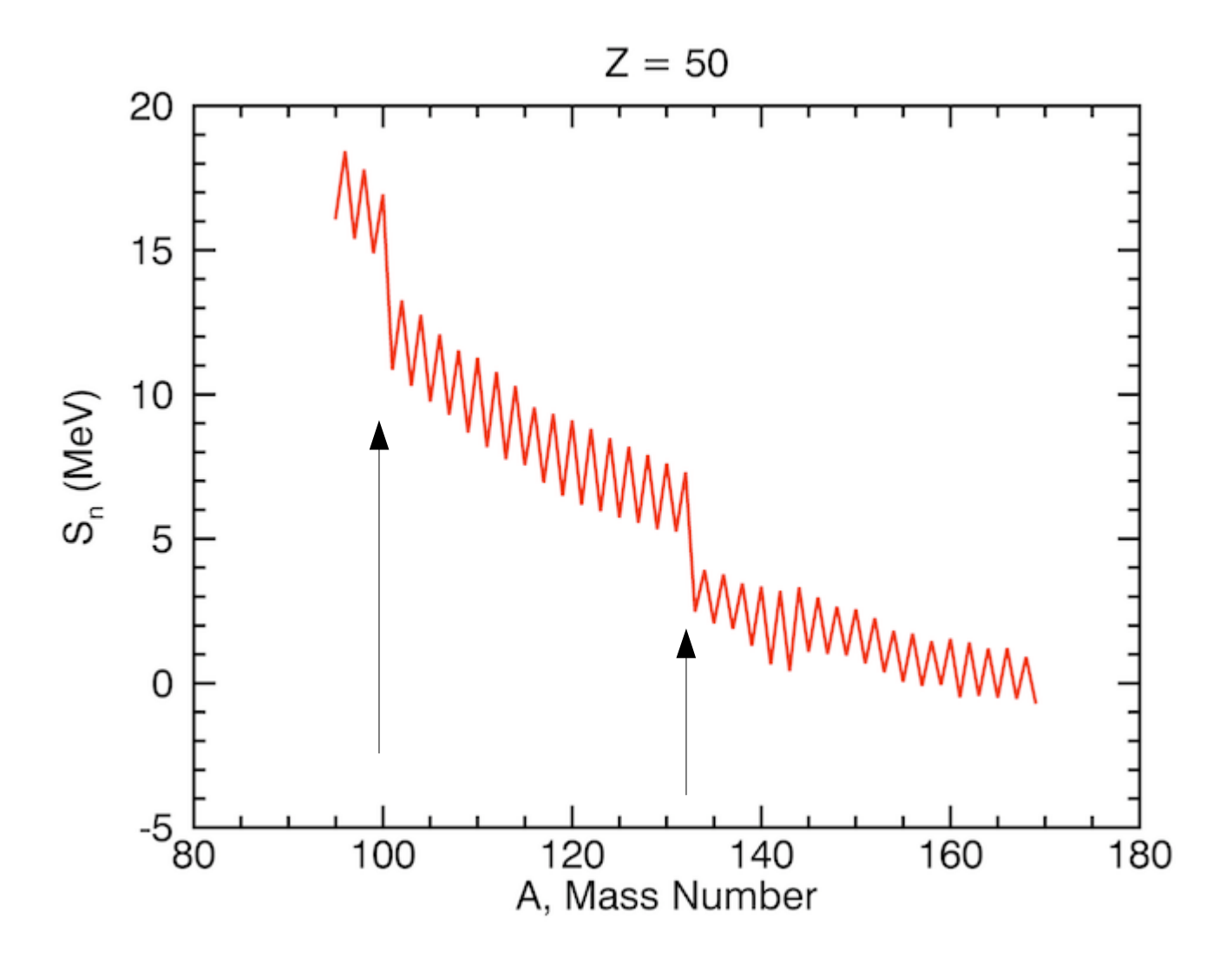
komplizierter als für Atome, da N und Z unabhängig variieren

Energien der ersten angeregten 2+ Zustände



für abgeschlossene Schalen besonders hoch, dazwischen besonders niedrig

Neutron-Separationsenergien



klare Schaleneffekte bei A=100 und 132, d.h. N=50 und 82

Fig. 10-7

Niveauschema für 3 verschiedene Potenziale

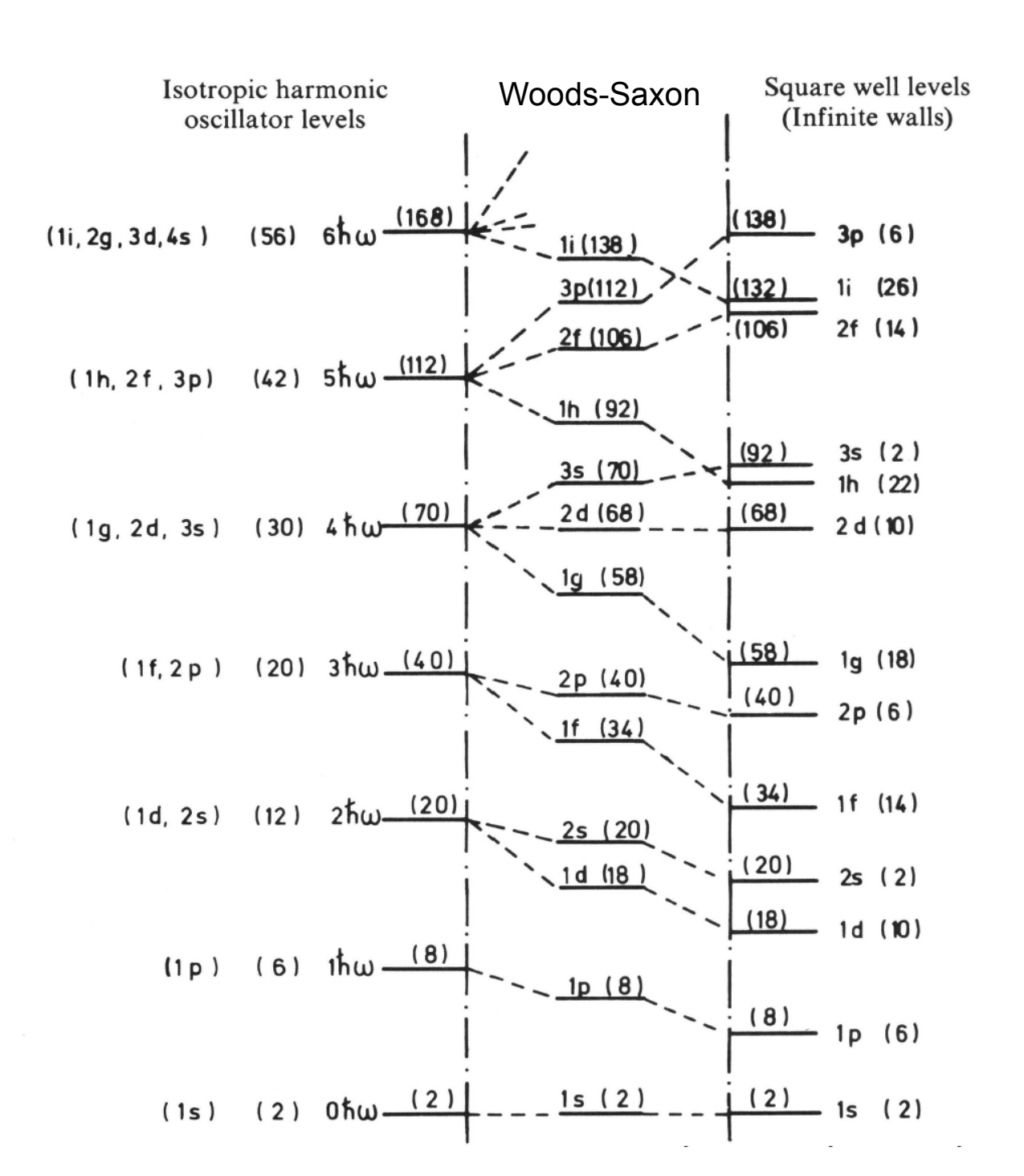
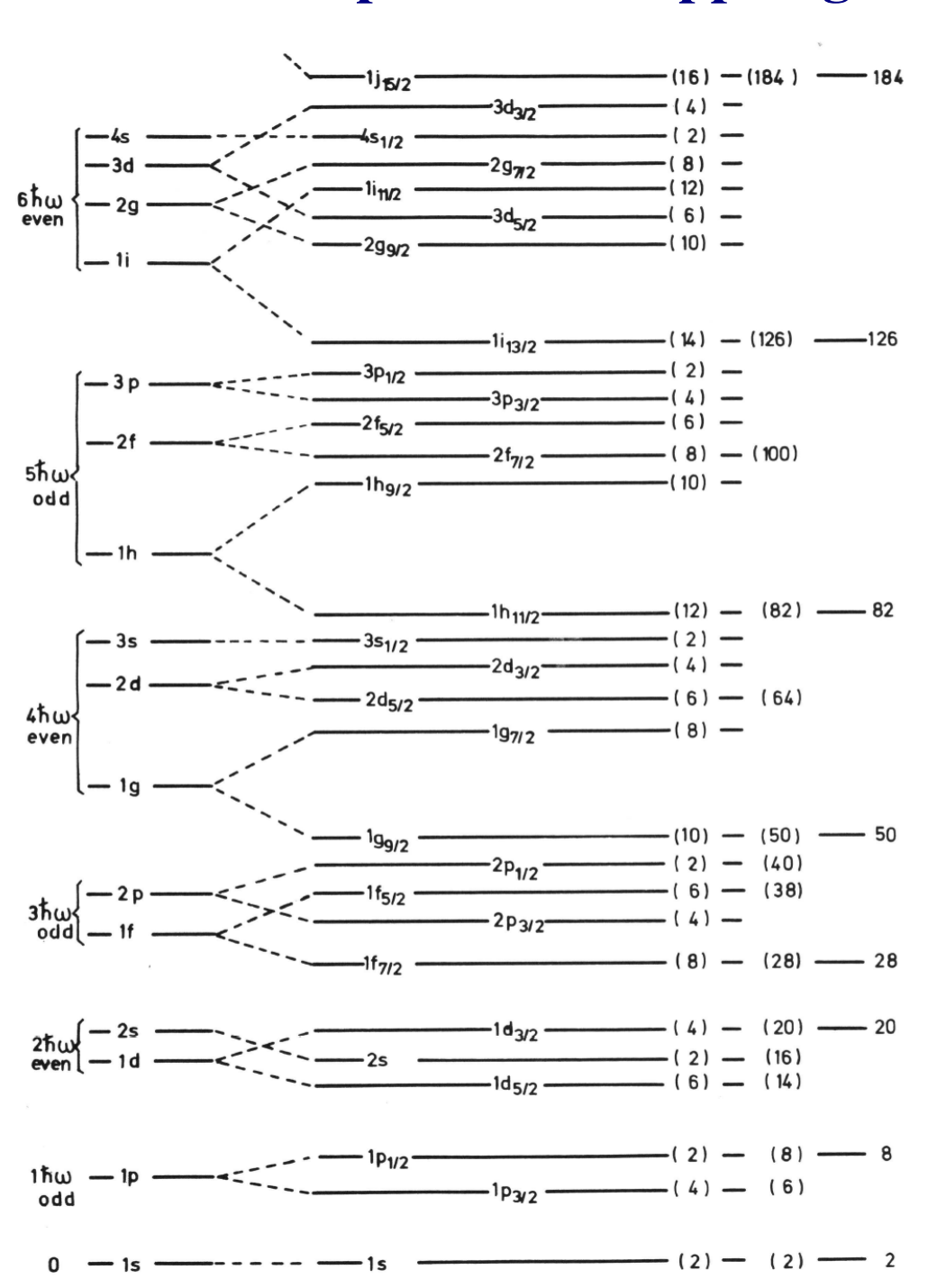


Fig. 10-8

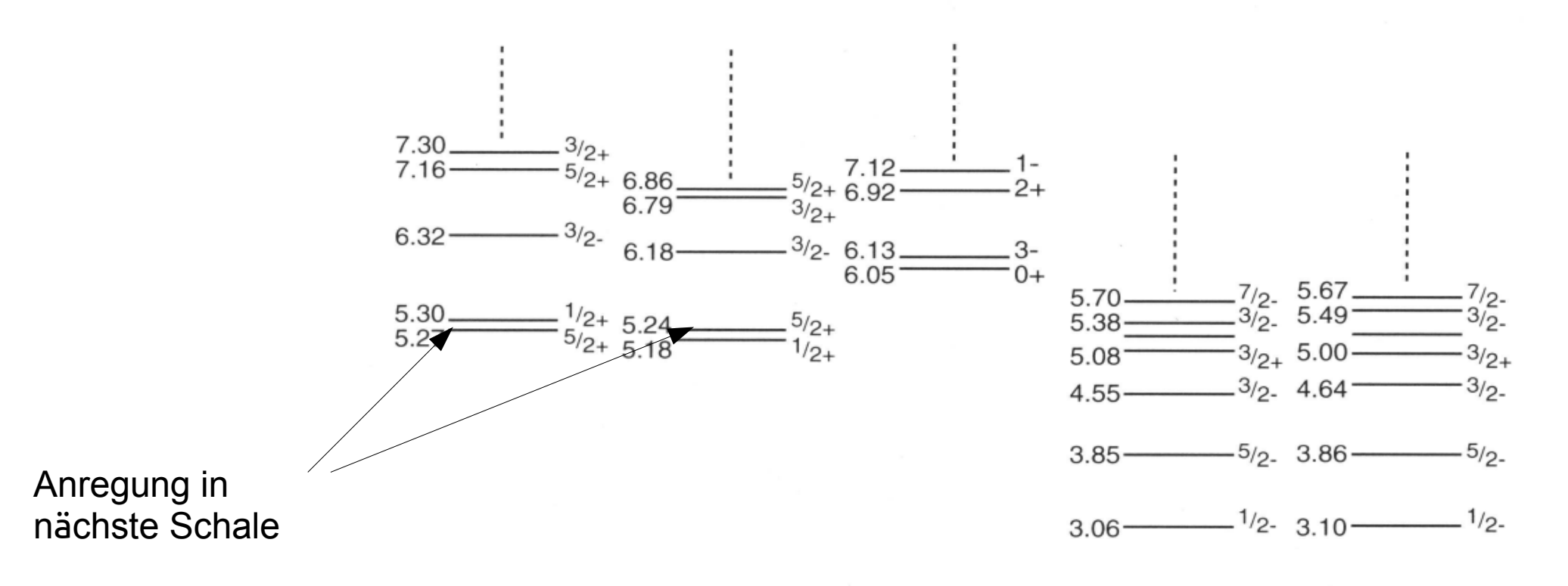
Schalenmodellzustände ohne und mit starker Spin-Bahn-Kopplung

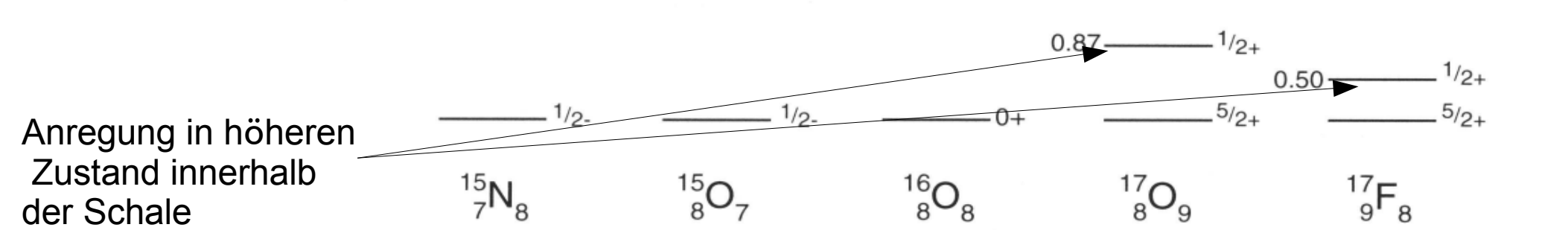
korrekte magische Zahlen

Abtauchen von Zuständen einer höheren Schale in die darunterliegende (andere Parität



Niveauschemata von Kernen um A=16





Niveauschema von ²³²Th

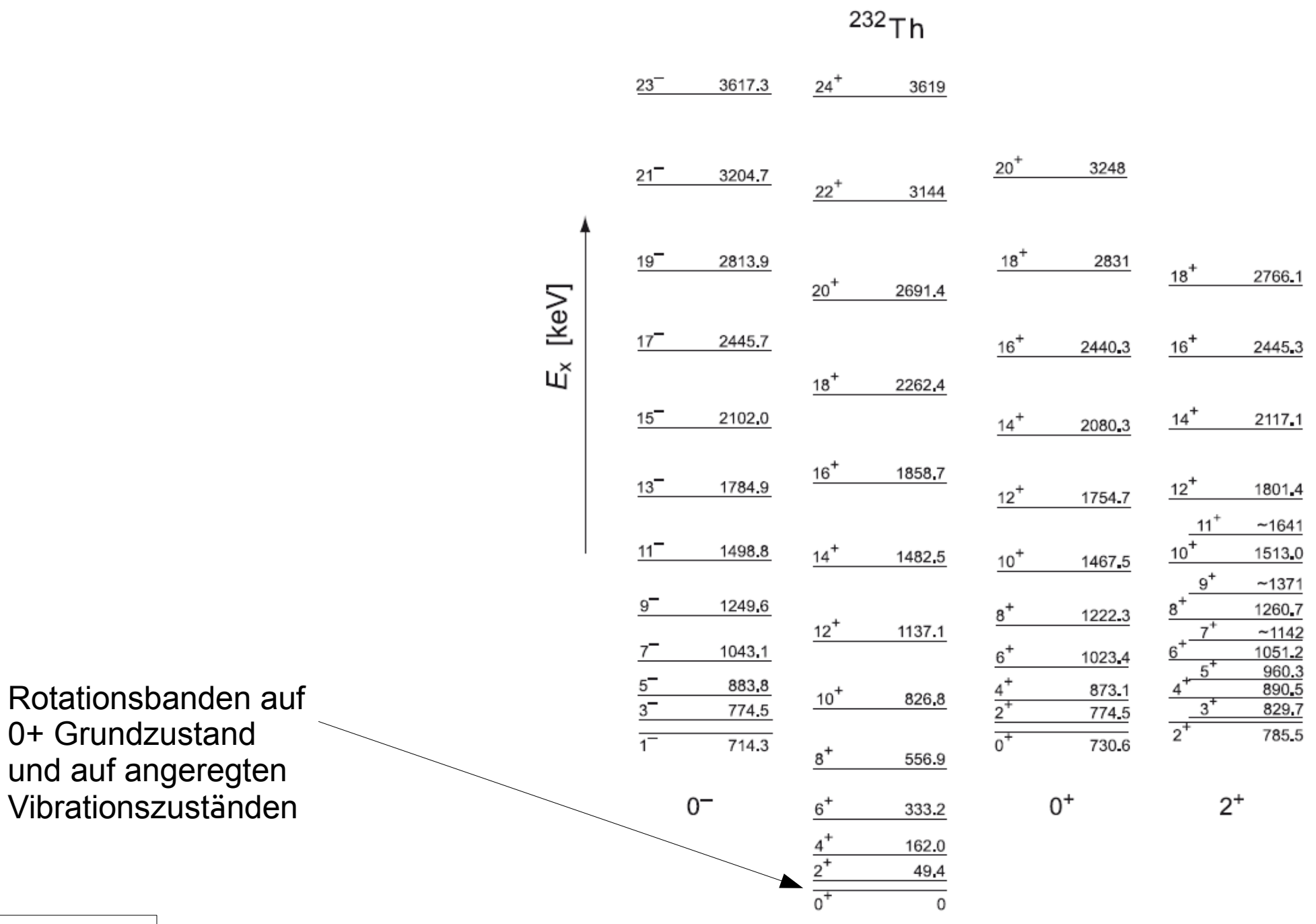


Fig. 10-11